

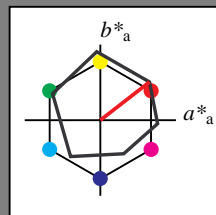
Eingabe: Farbmétrisches Offset-Reflektiv-System ORS18

für Buntton $h^* = lab \cdot h = 38/360 = 0.105$ $lab \cdot tch$ und $lab \cdot nch$

D65: Buntton O

LCH*Ma: 48 82 38

olv*Ma: 1.0 0.0 0.0



ORS18; adaptierte CIELAB-Daten

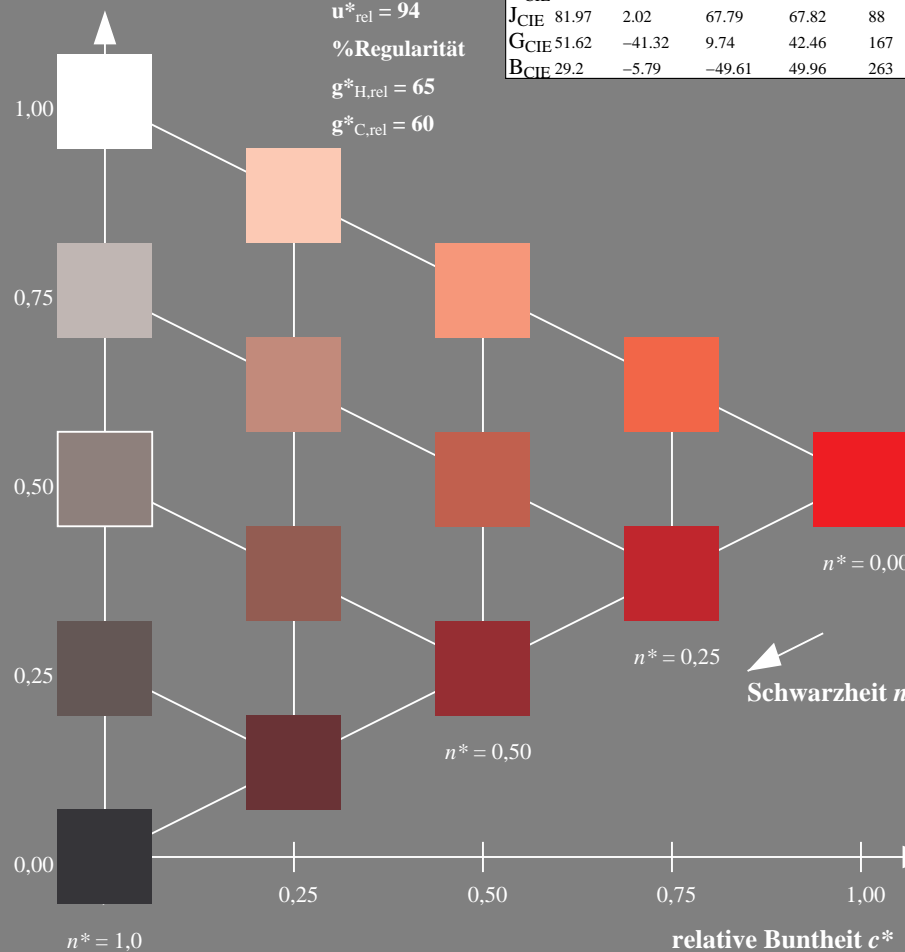
	$L^*=L^*_a$	a^*_a	b^*_a	$C^*_{ab,a}$	$h^*_{ab,a}$
O _m	47.94	65.05	50.54	82.38	38
Y _m	91.0	-4.72	90.58	90.7	93
L _m	50.9	-63.18	34.98	72.22	151
C _m	56.99	-39.34	-48.1	62.16	231
V _m	25.72	30.89	-44.4	54.09	305
M _m	49.99	75.76	-4.64	75.9	356
N _m	18.09	0.0	0.0	0.0	0
W _m	95.46	0.0	0.0	0.0	0
R _{CIE}	41.88	61.66	30.69	68.88	26
J _{CIE}	81.97	2.02	67.79	67.82	88
G _{CIE}	51.62	-41.32	9.74	42.46	167
B _{CIE}	29.2	-5.79	-49.61	49.96	263

Dreiecks-Helligkeit t^*

%Umfang

 $u^*_{rel} = 94$

%Regularität

 $g^*_{H,rel} = 65$ $g^*_{C,rel} = 60$ 

QG200-7, 5 stufige Reihen für konstanten CIELAB Buntton 38/360 = 0.105 (links)

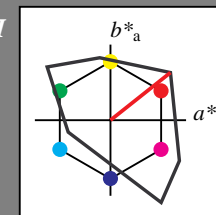
Ausgabe: Farbmétrisches Fernseh-Licht-System TLS00

für Buntton $h^* = lab \cdot h = 38/360 = 0.107$ $LAB \cdot LCH$, $LAB \cdot NCH$

D65: Buntton O

LCH*Ma: 54 101 38

olv*Ma: 1.0 0.0 0.0



TLS00; adaptierte CIELAB-Daten

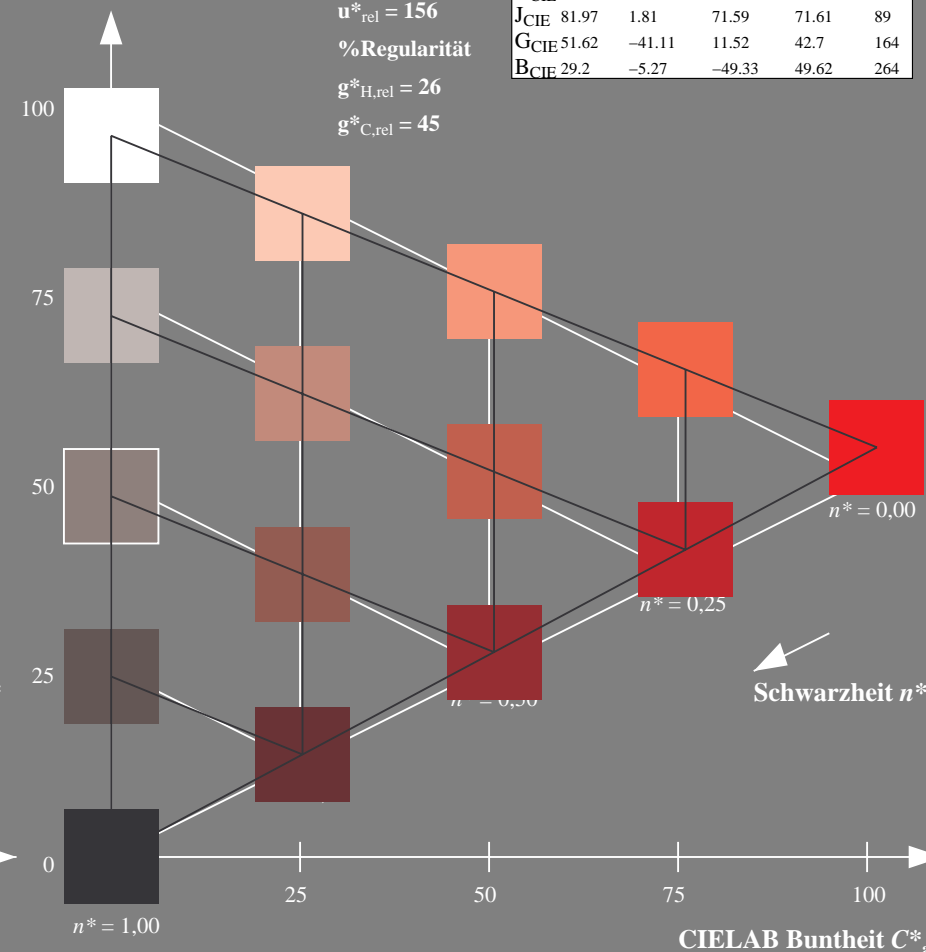
	$L^*=L^*_a$	a^*_a	b^*_a	$C^*_{ab,a}$	$h^*_{ab,a}$
O _m	54.19	79.36	63.0	101.33	38
Y _m	93.44	-14.18	82.59	83.8	100
L _m	82.82	-83.73	70.41	109.41	140
C _m	85.22	-55.9	-15.78	58.1	196
V _m	25.61	67.05	-108.87	127.87	302
M _m	58.76	91.18	-53.69	105.82	330
N _m	0.01	0.0	0.0	0.0	0
W _m	95.41	0.0	0.0	0.0	0
R _{CIE}	41.88	62.0	31.82	69.69	27
J _{CIE}	81.97	1.81	71.59	71.61	89
G _{CIE}	51.62	-41.11	11.52	42.7	164
B _{CIE}	29.2	-5.27	-49.33	49.62	264

CIELAB-Helligkeit L^*

%Umfang

 $u^*_{rel} = 156$

%Regularität

 $g^*_{H,rel} = 26$ $g^*_{C,rel} = 45$ 

5 stufige Reihen für konstanten CIELAB Buntton 38/360 = 0.107 (rechts)

BAM-Prüfvorlage QG20; Farbmétrik-Systeme ORS18 & ORS18input: $cmY0^*$ setcmykcolor

D50: Koordinatensysteme; 5stufige Farbreihen für 10 Bunttöne output: Startup (S) data dependend

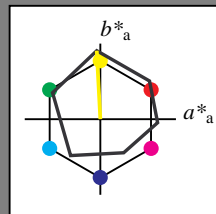
Eingabe: Farbmatisches Offset-Reflektiv-System ORS18

für Buntton $h^* = lab \cdot h = 93/360 = 0.258$ $lab \cdot tch$ und $lab \cdot nch$

D65: Buntton Y

LCH*Ma: 91 91 93

olv*Ma: 1.0 1.0 0.0



ORS18; adaptierte CIELAB-Daten

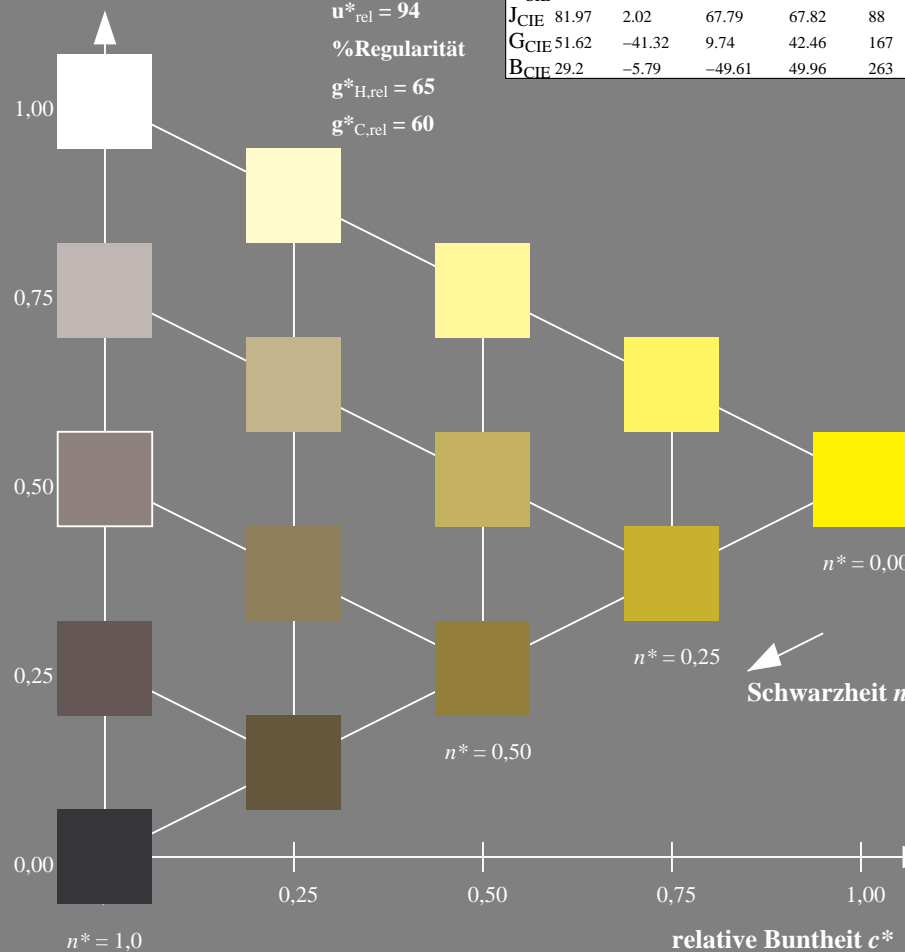
	$L^*=L^*_a$	a^*_a	b^*_a	$C^*_{ab,a}$	$h^*_{ab,a}$
O_m	47.94	65.05	50.54	82.38	38
Y_m	91.0	-4.72	90.58	90.7	93
L_m	50.9	-63.18	34.98	72.22	151
C_m	56.99	-39.34	-48.1	62.16	231
V_m	25.72	30.89	-44.4	54.09	305
M_m	49.99	75.76	-4.64	75.9	356
N_m	18.09	0.0	0.0	0.0	0
W_m	95.46	0.0	0.0	0.0	0
R_{CIE}	41.88	61.66	30.69	68.88	26
J_{CIE}	81.97	2.02	67.79	67.82	88
G_{CIE}	51.62	-41.32	9.74	42.46	167
B_{CIE}	29.2	-5.79	-49.61	49.96	263

Dreiecks-Helligkeit t^*

%Umfang

 $u^*_{rel} = 94$

%Regularität

 $g^*_{H,rel} = 65$ $g^*_{C,rel} = 60$ QG200-7, 5 stufige Reihen für konstanten CIELAB Buntton $93/360 = 0.258$ (links)BAM-Prüfvorlage QG20; Farbmatrik-Systeme ORS18 & ORS18input: *cmY0* setcmykcolor*D50: Koordinatensysteme; 5stufige Farbreihen für 10 Bunttöne output: *Startup (S) data dependend*

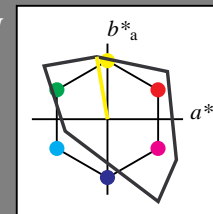
Ausgabe: Farbmatisches Fernseh-Licht-System TLS00

für Buntton $h^* = lab \cdot h = 100/360 = 0.277$ $LAB \cdot LCH$, $LAB \cdot NCH$

D65: Buntton Y

LCH*Ma: 93 84 100

olv*Ma: 1.0 1.0 0.0



TLS00; adaptierte CIELAB-Daten

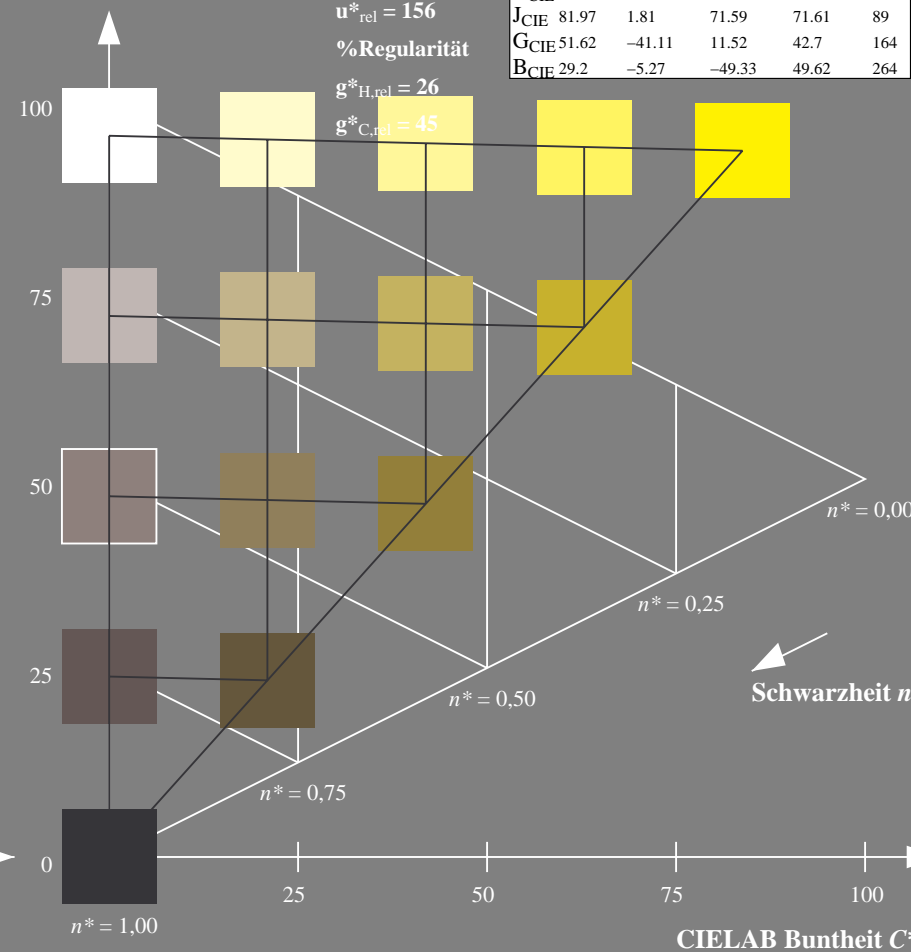
	$L^*=L^*_a$	a^*_a	b^*_a	$C^*_{ab,a}$	$h^*_{ab,a}$
O_m	54.19	79.36	63.0	101.33	38
Y_m	93.44	-14.18	82.59	83.8	100
L_m	82.82	-83.73	70.41	109.41	140
C_m	85.22	-55.9	-15.78	58.1	196
V_m	25.61	67.05	-108.87	127.87	302
M_m	58.76	91.18	-53.69	105.82	330
N_m	0.01	0.0	0.0	0.0	0
W_m	95.41	0.0	0.0	0.0	0
R_{CIE}	41.88	62.0	31.82	69.69	27
J_{CIE}	81.97	1.81	71.59	71.61	89
G_{CIE}	51.62	-41.11	11.52	42.7	164
B_{CIE}	29.2	-5.27	-49.33	49.62	264

CIELAB-Helligkeit L^*

%Umfang

 $u^*_{rel} = 156$

%Regularität

 $g^*_{H,rel} = 26$ $g^*_{C,rel} = 45$ 5 stufige Reihen für konstanten CIELAB Buntton $100/360 = 0.277$ (rechts)

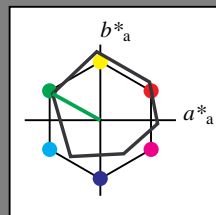
Eingabe: Farbmatisches Offset-Reflektiv-System ORS18

für Buntton $h^* = lab \cdot h = 151/360 = 0.42$ $lab \cdot tch$ und $lab \cdot nch$

D65: Buntton L

LCH*Ma: 51 72 151

olv*Ma: 0.0 1.0 0.0



ORS18; adaptierte CIELAB-Daten

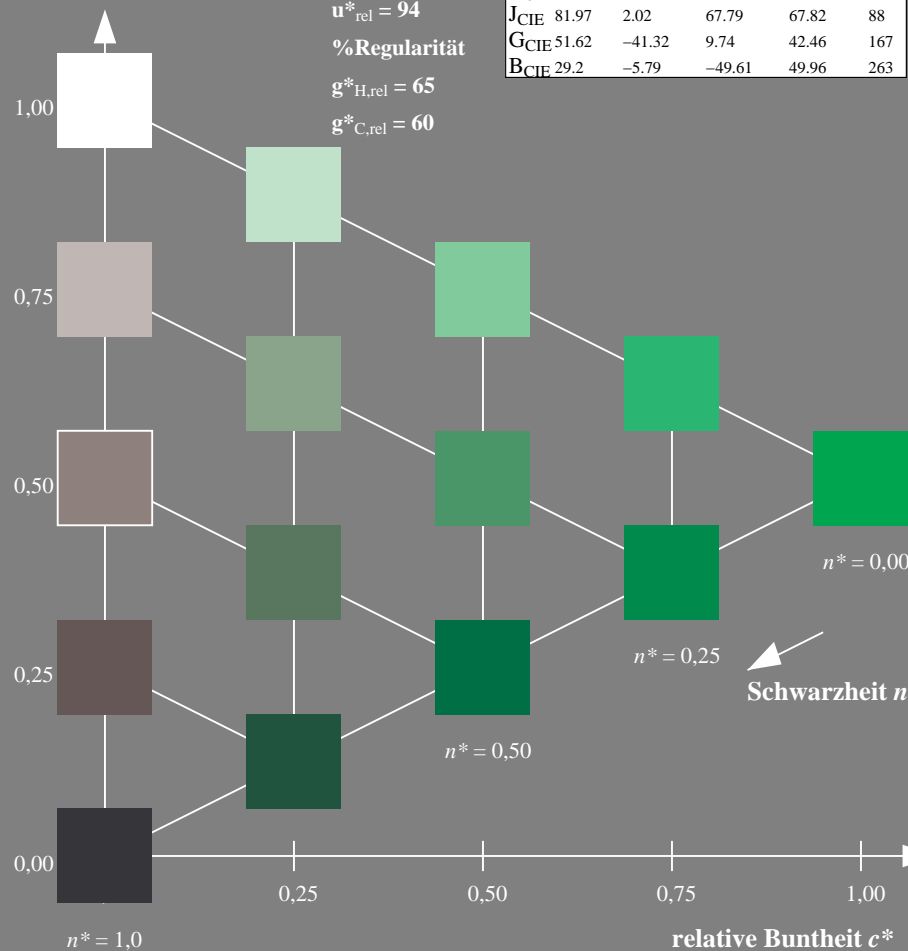
	$L^*=L^*_a$	a^*_a	b^*_a	$C^*_{ab,a}$	$h^*_{ab,a}$
O _m	47.94	65.05	50.54	82.38	38
Y _m	91.0	-4.72	90.58	90.7	93
L _m	50.9	-63.18	34.98	72.22	151
C _m	56.99	-39.34	-48.1	62.16	231
V _m	25.72	30.89	-44.4	54.09	305
M _m	49.99	75.76	-4.64	75.9	356
N _m	18.09	0.0	0.0	0.0	0
W _m	95.46	0.0	0.0	0.0	0
R _{CIE}	41.88	61.66	30.69	68.88	26
J _{CIE}	81.97	2.02	67.79	67.82	88
G _{CIE}	51.62	-41.32	9.74	42.46	167
B _{CIE}	29.2	-5.79	-49.61	49.96	263

Dreiecks-Helligkeit t^*

%Umfang

 $u^*_{rel} = 94$

%Regularität

 $g^*_{H,rel} = 65$ $g^*_{C,rel} = 60$ QG200-7, 5 stufige Reihen für konstanten CIELAB Buntton $151/360 = 0.42$ (links)BAM-Prüfvorlage QG20; Farbmatrik-Systeme ORS18 & ORS18input: *cmY0* setcmykcolor*D50: Koordinatensysteme; 5stufige Farbreihen für 10 Bunttöne output: *Startup (S) data dependend*

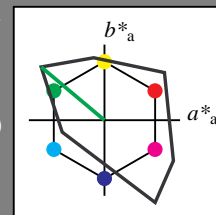
Ausgabe: Farbmatisches Fernseh-Licht-System TLS00

für Buntton $h^* = lab \cdot h = 140/360 = 0.389$ $LAB \cdot LCH$, $LAB \cdot NCH$

D65: Buntton L

LCH*Ma: 83 109 140

olv*Ma: 0.0 1.0 0.0



TLS00; adaptierte CIELAB-Daten

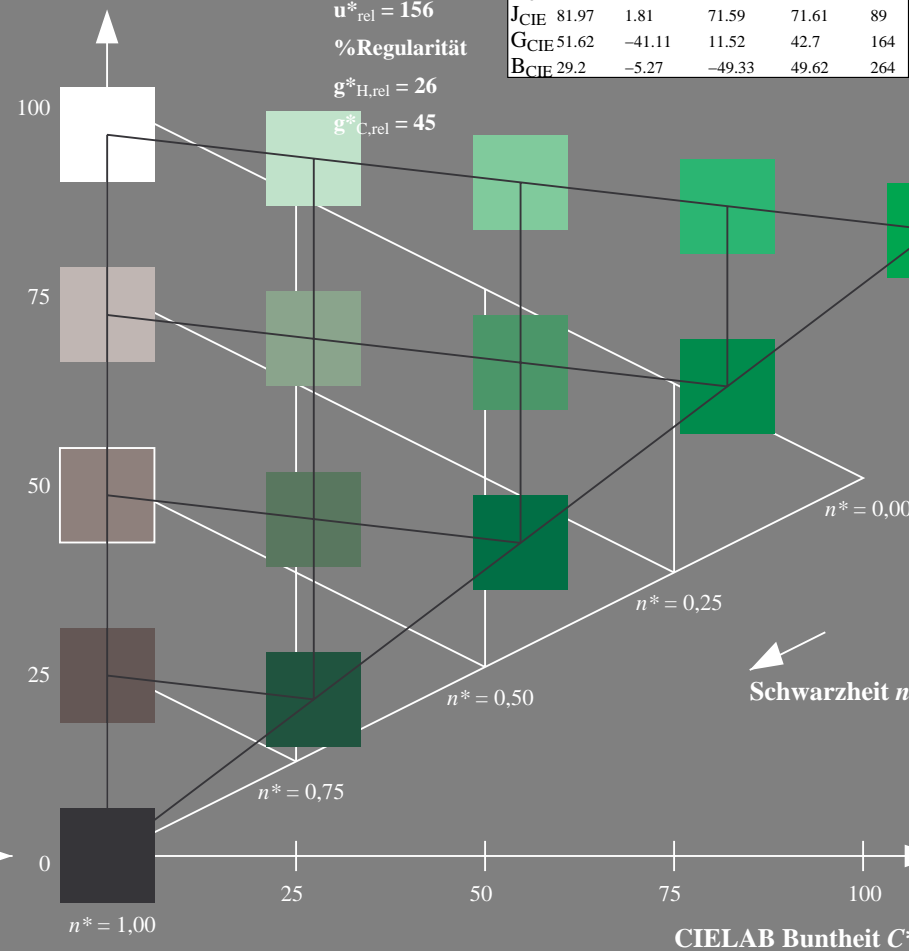
	$L^*=L^*_a$	a^*_a	b^*_a	$C^*_{ab,a}$	$h^*_{ab,a}$
O _m	54.19	79.36	63.0	101.33	38
Y _m	93.44	-14.18	82.59	83.8	100
L _m	82.82	-83.73	70.41	109.41	140
C _m	85.22	-55.9	-15.78	58.1	196
V _m	25.61	67.05	-108.87	127.87	302
M _m	58.76	91.18	-53.69	105.82	330
N _m	0.01	0.0	0.0	0.0	0
W _m	95.41	0.0	0.0	0.0	0
R _{CIE}	41.88	62.0	31.82	69.69	27
J _{CIE}	81.97	1.81	71.59	71.61	89
G _{CIE}	51.62	-41.11	11.52	42.7	164
B _{CIE}	29.2	-5.27	-49.33	49.62	264

CIELAB-Helligkeit L^*

%Umfang

 $u^*_{rel} = 156$

%Regularität

 $g^*_{H,rel} = 26$ $g^*_{C,rel} = 45$ 5 stufige Reihen für konstanten CIELAB Buntton $140/360 = 0.389$ (rechts)

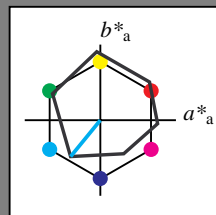
Eingabe: Farbmétrisches Offset-Reflektiv-System ORS18

für Buntton $h^* = lab \cdot h = 231/360 = 0.641$ $lab \cdot tch$ und $lab \cdot nch$

D65: Buntton C

LCH*Ma: 57 62 231

olv*Ma: 0.0 1.0 1.0



ORS18; adaptierte CIELAB-Daten

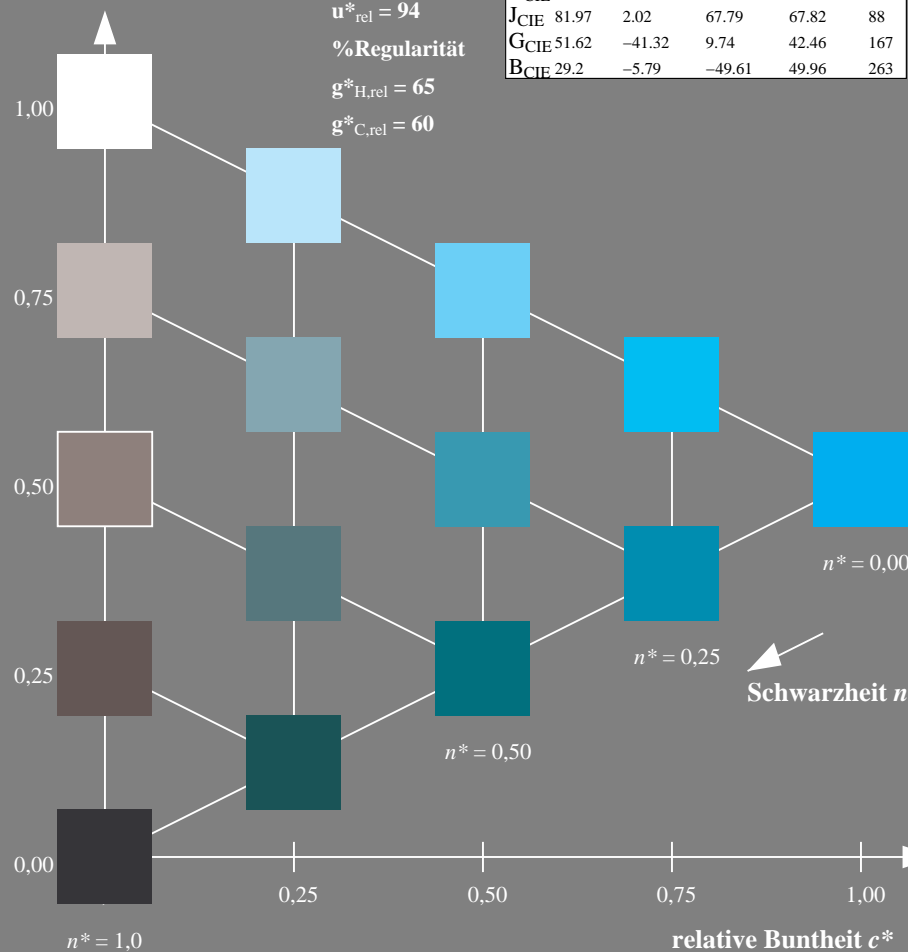
	$L^* = L^*_a$	a^*_a	b^*_a	$C^*_{ab,a}$	$h^*_{ab,a}$
O _m	47.94	65.05	50.54	82.38	38
Y _m	91.0	-4.72	90.58	90.7	93
L _m	50.9	-63.18	34.98	72.22	151
C _m	56.99	-39.34	-48.1	62.16	231
V _m	25.72	30.89	-44.4	54.09	305
M _m	49.99	75.76	-4.64	75.9	356
N _m	18.09	0.0	0.0	0.0	0
W _m	95.46	0.0	0.0	0.0	0
R _{CIE}	41.88	61.66	30.69	68.88	26
J _{CIE}	81.97	2.02	67.79	67.82	88
G _{CIE}	51.62	-41.32	9.74	42.46	167
B _{CIE}	29.2	-5.79	-49.61	49.96	263

Dreiecks-Helligkeit t^*

%Umfang

 $u^*_{rel} = 94$

%Regularität

 $g^*_{H,rel} = 65$ $g^*_{C,rel} = 60$ QG200-7, 5 stufige Reihen für konstanten CIELAB Buntton $231/360 = 0.641$ (links)BAM-Prüfvorlage QG20; Farbmétrik-Systeme ORS18 & ORS18input: *cmY0* setcmykcolor*D50: Koordinatensysteme; 5stufige Farbreihen für 10 Bunttöne output: *Startup (S) data dependend*

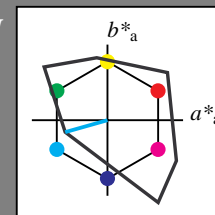
Ausgabe: Farbmétrisches Fernseh-Licht-System TLS00

für Buntton $h^* = lab \cdot h = 196/360 = 0.544$ $LAB \cdot LCH$, $LAB \cdot NCH$

D65: Buntton C

LCH*Ma: 85 58 196

olv*Ma: 0.0 1.0 1.0



TLS00; adaptierte CIELAB-Daten

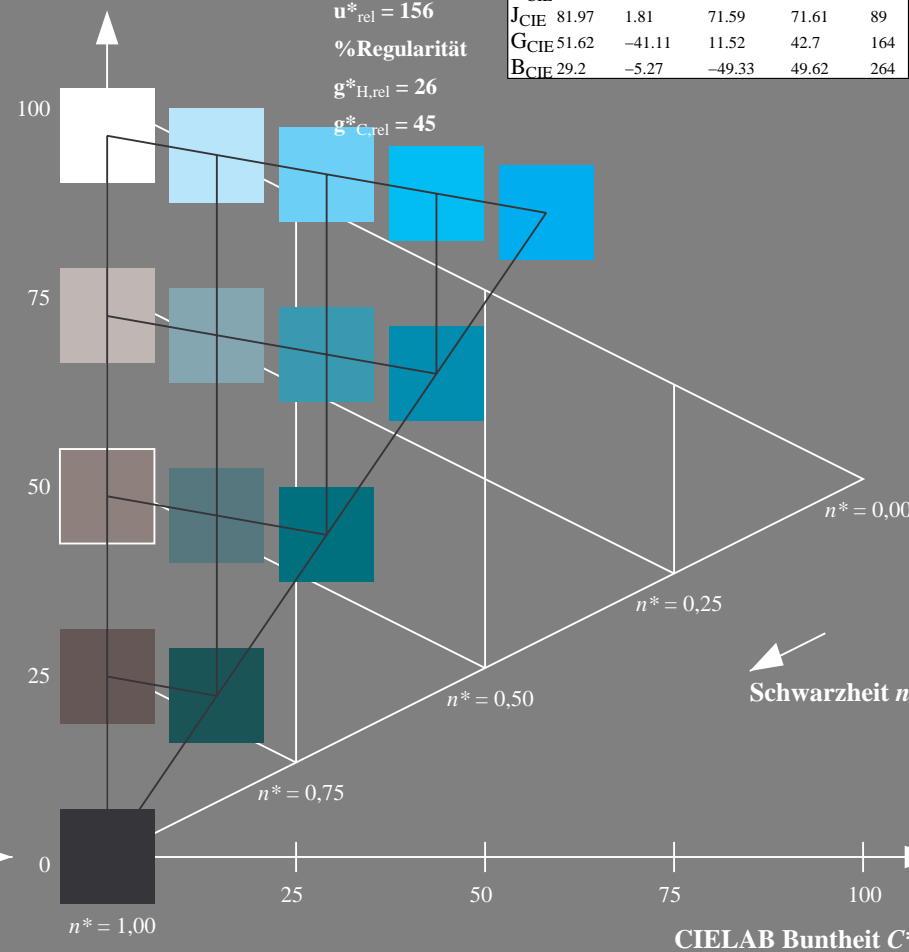
	$L^* = L^*_a$	a^*_a	b^*_a	$C^*_{ab,a}$	$h^*_{ab,a}$
O _m	54.19	79.36	63.0	101.33	38
Y _m	93.44	-14.18	82.59	83.8	100
L _m	82.82	-83.73	70.41	109.41	140
C _m	85.22	-55.9	-15.78	58.1	196
V _m	25.61	67.05	-108.87	127.87	302
M _m	58.76	91.18	-53.69	105.82	330
N _m	0.01	0.0	0.0	0.0	0
W _m	95.41	0.0	0.0	0.0	0
R _{CIE}	41.88	62.0	31.82	69.69	27
J _{CIE}	81.97	1.81	71.59	71.61	89
G _{CIE}	51.62	-41.11	11.52	42.7	164
B _{CIE}	29.2	-5.27	-49.33	49.62	264

CIELAB-Helligkeit L^*

%Umfang

 $u^*_{rel} = 156$

%Regularität

 $g^*_{H,rel} = 26$ $g^*_{C,rel} = 45$ 5 stufige Reihen für konstanten CIELAB Buntton $196/360 = 0.544$ (rechts)

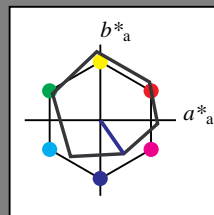
Eingabe: Farbmétrisches Offset-Reflektiv-System ORS18

für Buntton $h^* = lab \cdot h = 305/360 = 0.847$ $lab \cdot tch$ und $lab \cdot nch$

D65: Buntton V

LCH*Ma: 26 54 305

olv*Ma: 0.0 0.0 1.0



ORS18; adaptierte CIELAB-Daten

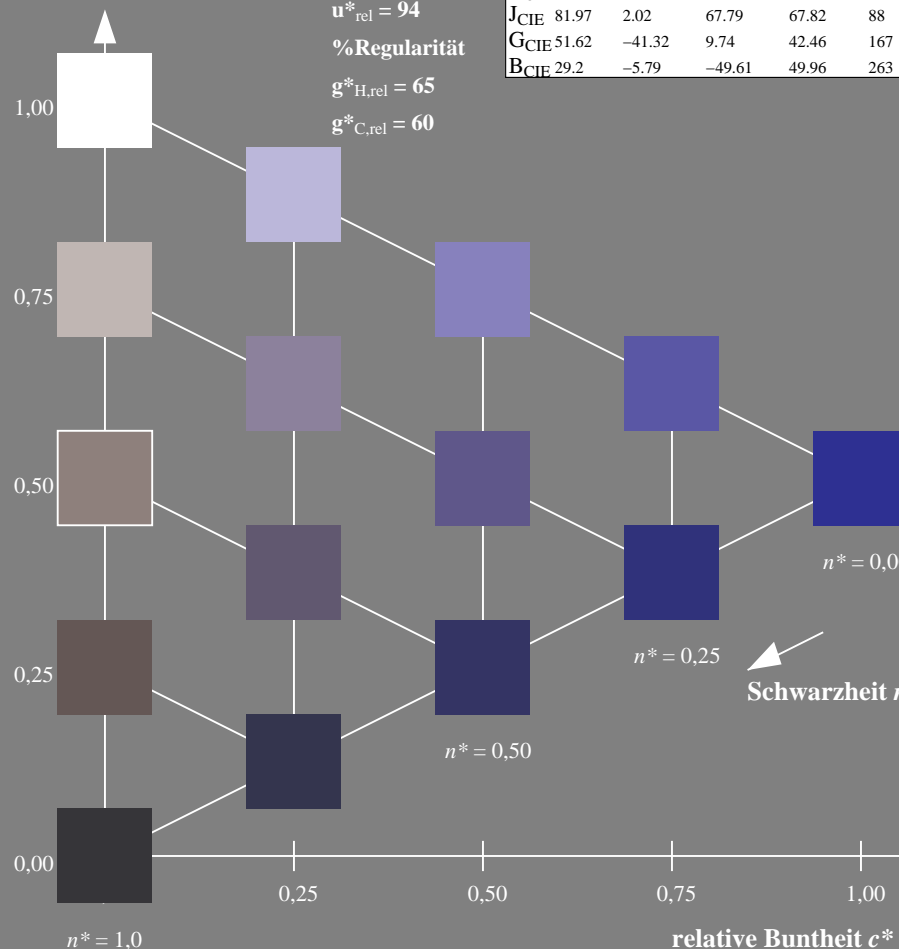
	$L^*=L^*_a$	a^*_a	b^*_a	$C^*_{ab,a}$	$h^*_{ab,a}$
O _m	47.94	65.05	50.54	82.38	38
Y _m	91.0	-4.72	90.58	90.7	93
L _m	50.9	-63.18	34.98	72.22	151
C _m	56.99	-39.34	-48.1	62.16	231
V _m	25.72	30.89	-44.4	54.09	305
M _m	49.99	75.76	-4.64	75.9	356
N _m	18.09	0.0	0.0	0.0	0
W _m	95.46	0.0	0.0	0.0	0
R _{CIE}	41.88	61.66	30.69	68.88	26
J _{CIE}	81.97	2.02	67.79	67.82	88
G _{CIE}	51.62	-41.32	9.74	42.46	167
B _{CIE}	29.2	-5.79	-49.61	49.96	263

Dreiecks-Helligkeit t^*

%Umfang

 $u^*_{rel} = 94$

%Regularität

 $g^*_{H,rel} = 65$ $g^*_{C,rel} = 60$ 

QG200-7, 5 stufige Reihen für konstanten CIELAB Buntton 305/360 = 0.847 (links)

BAM-Prüfvorlage QG20; Farbmétrik-Systeme ORS18 & ORS18input: $cm y0^* setcmykcolor$

D50: Koordinatensysteme; 5stufige Farbreihen für 10 Bunttöne output: Startup (S) data dependend

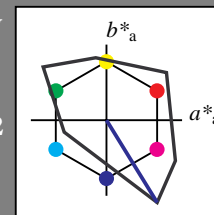
Ausgabe: Farbmétrisches Fernseh-Licht-System TLS00

für Buntton $h^* = lab \cdot h = 302/360 = 0.838$ $LAB \cdot LCH$, $LAB \cdot NCH$

D65: Buntton V

LCH*Ma: 26 128 302

olv*Ma: 0.0 0.0 1.0



TLS00; adaptierte CIELAB-Daten

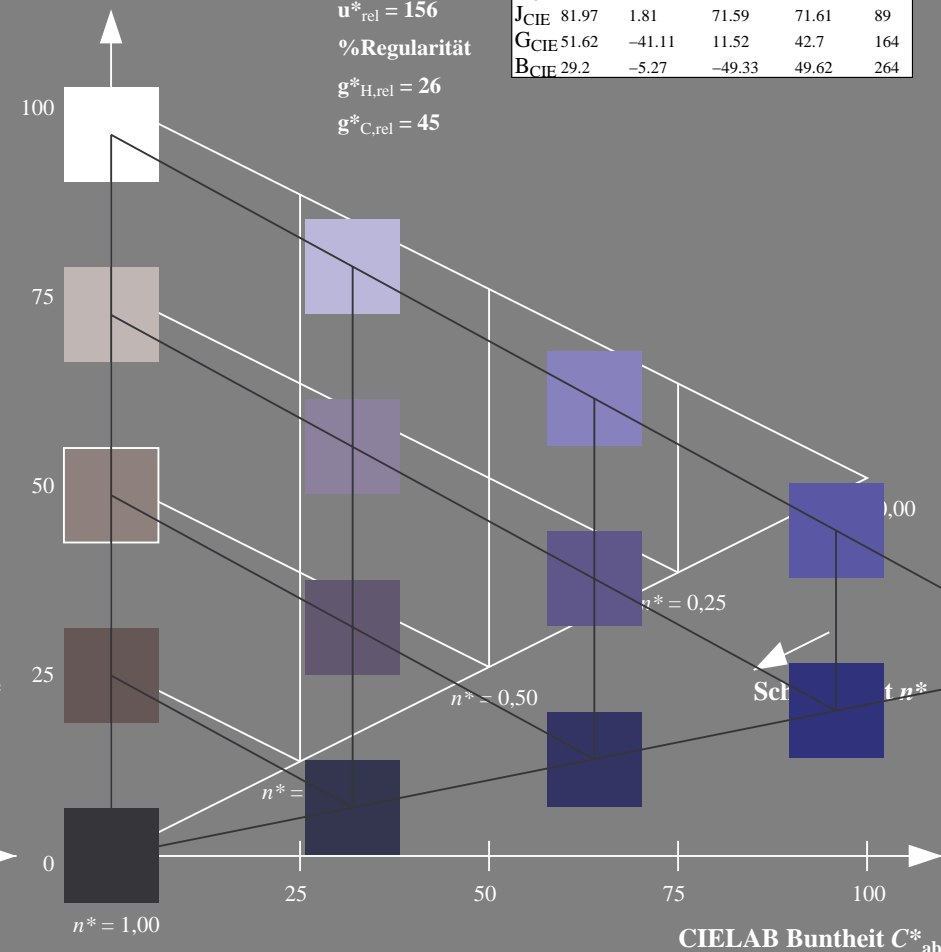
	$L^*=L^*_a$	a^*_a	b^*_a	$C^*_{ab,a}$	$h^*_{ab,a}$
O _m	54.19	79.36	63.0	101.33	38
Y _m	93.44	-14.18	82.59	83.8	100
L _m	82.82	-83.73	70.41	109.41	140
C _m	85.22	-55.9	-15.78	58.1	196
V _m	25.61	67.05	-108.87	127.87	302
M _m	58.76	91.18	-53.69	105.82	330
N _m	0.01	0.0	0.0	0.0	0
W _m	95.41	0.0	0.0	0.0	0
R _{CIE}	41.88	62.0	31.82	69.69	27
J _{CIE}	81.97	1.81	71.59	71.61	89
G _{CIE}	51.62	-41.11	11.52	42.7	164
B _{CIE}	29.2	-5.27	-49.33	49.62	264

CIELAB-Helligkeit L^*

%Umfang

 $u^*_{rel} = 156$

%Regularität

 $g^*_{H,rel} = 26$ $g^*_{C,rel} = 45$ 

5 stufige Reihen für konstanten CIELAB Buntton 302/360 = 0.838 (rechts)

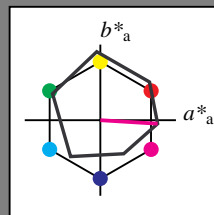
Eingabe: Farbmatisches Offset-Reflektiv-System ORS18

für Buntton $h^* = lab \cdot h = 356/360 = 0.99$ $lab \cdot tch$ und $lab \cdot nch$

D65: Buntton M

LCH*Ma: 50 76 356

olv*Ma: 1.0 0.0 1.0



ORS18; adaptierte CIELAB-Daten

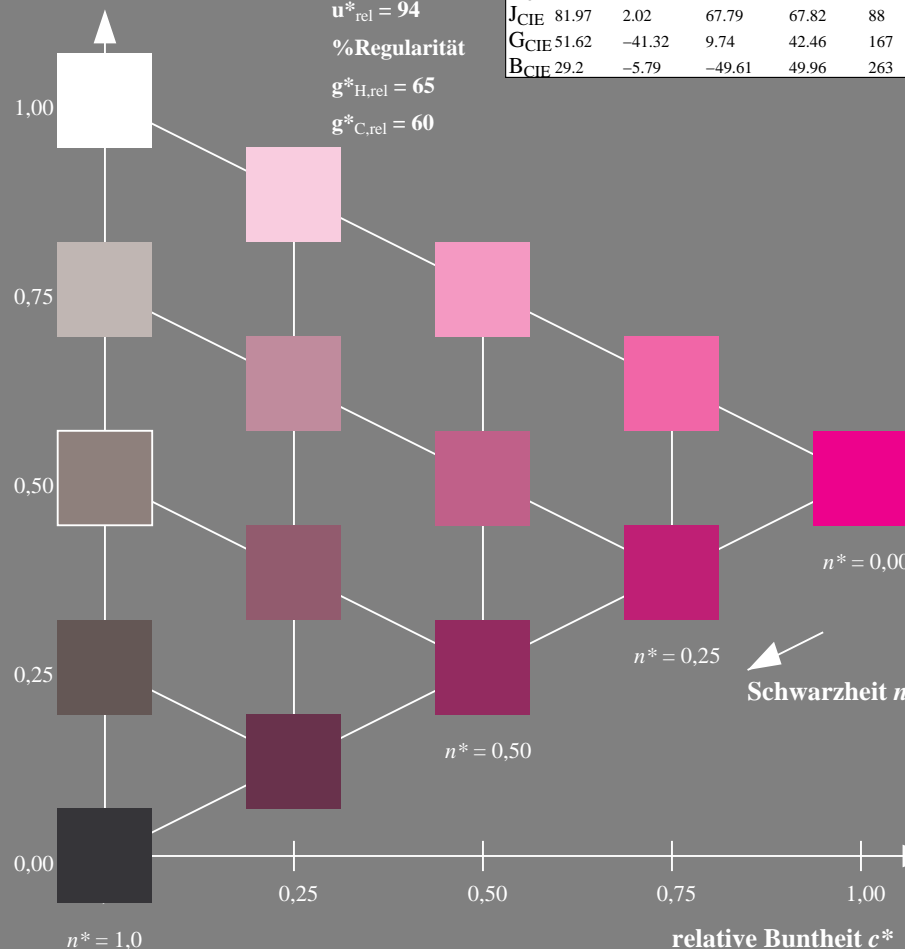
	$L^*=L^*_a$	a^*_a	b^*_a	$C^*_{ab,a}$	$h^*_{ab,a}$
O _m	47.94	65.05	50.54	82.38	38
Y _m	91.0	-4.72	90.58	90.7	93
L _m	50.9	-63.18	34.98	72.22	151
C _m	56.99	-39.34	-48.1	62.16	231
V _m	25.72	30.89	-44.4	54.09	305
M _m	49.99	75.76	-4.64	75.9	356
N _m	18.09	0.0	0.0	0.0	0
W _m	95.46	0.0	0.0	0.0	0
R _{CIE}	41.88	61.66	30.69	68.88	26
J _{CIE}	81.97	2.02	67.79	67.82	88
G _{CIE}	51.62	-41.32	9.74	42.46	167
B _{CIE}	29.2	-5.79	-49.61	49.96	263

Dreiecks-Helligkeit t^*

%Umfang

 $u^*_{rel} = 94$

%Regularität

 $g^*_{H,rel} = 65$ $g^*_{C,rel} = 60$ QG200-7, 5 stufige Reihen für konstanten CIELAB Buntton $356/360 = 0.99$ (links)BAM-Prüfvorlage QG20; Farbmatrik-Systeme ORS18 & ORS18input: *cmY0* setcmykcolor*D50: Koordinatensysteme; 5stufige Farbreihen für 10 Bunttöne output: *Startup (S) data dependend*

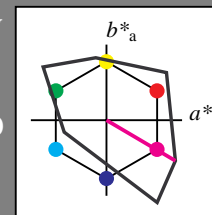
Ausgabe: Farbmatisches Fernseh-Licht-System TLS00

für Buntton $h^* = lab \cdot h = 330/360 = 0.915$ $LAB \cdot LCH, LAB \cdot NCH$

D65: Buntton M

LCH*Ma: 59 106 330

olv*Ma: 1.0 0.0 1.0



TLS00; adaptierte CIELAB-Daten

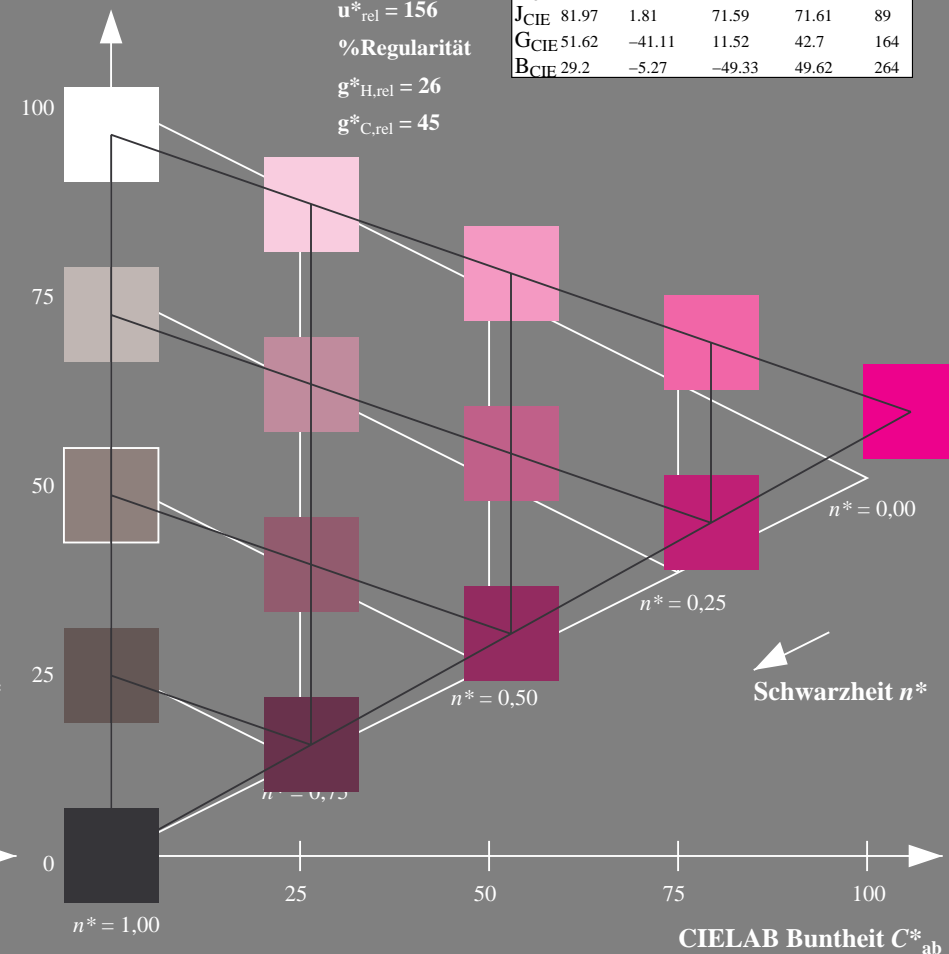
	$L^*=L^*_a$	a^*_a	b^*_a	$C^*_{ab,a}$	$h^*_{ab,a}$
O _m	54.19	79.36	63.0	101.33	38
Y _m	93.44	-14.18	82.59	83.8	100
L _m	82.82	-83.73	70.41	109.41	140
C _m	85.22	-55.9	-15.78	58.1	196
V _m	25.61	67.05	-108.87	127.87	302
M _m	58.76	91.18	-53.69	105.82	330
N _m	0.01	0.0	0.0	0.0	0
W _m	95.41	0.0	0.0	0.0	0
R _{CIE}	41.88	62.0	31.82	69.69	27
J _{CIE}	81.97	1.81	71.59	71.61	89
G _{CIE}	51.62	-41.11	11.52	42.7	164
B _{CIE}	29.2	-5.27	-49.33	49.62	264

CIELAB-Helligkeit L^*

%Umfang

 $u^*_{rel} = 156$

%Regularität

 $g^*_{H,rel} = 26$ $g^*_{C,rel} = 45$ 5 stufige Reihen für konstanten CIELAB Buntton $330/360 = 0.915$ (rechts)

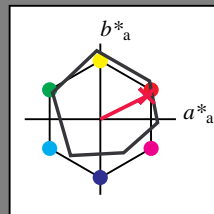
Eingabe: Farbmatisches Offset-Reflektiv-System ORS18

für Buntton $h^* = lab \cdot h = 26/360 = 0.074$ $lab \cdot tch$ und $lab \cdot nch$

D65: Buntton R

LCH*Ma: 49 76 26

olv*Ma: 1.0 0.0 0.3



ORS18; adaptierte CIELAB-Daten

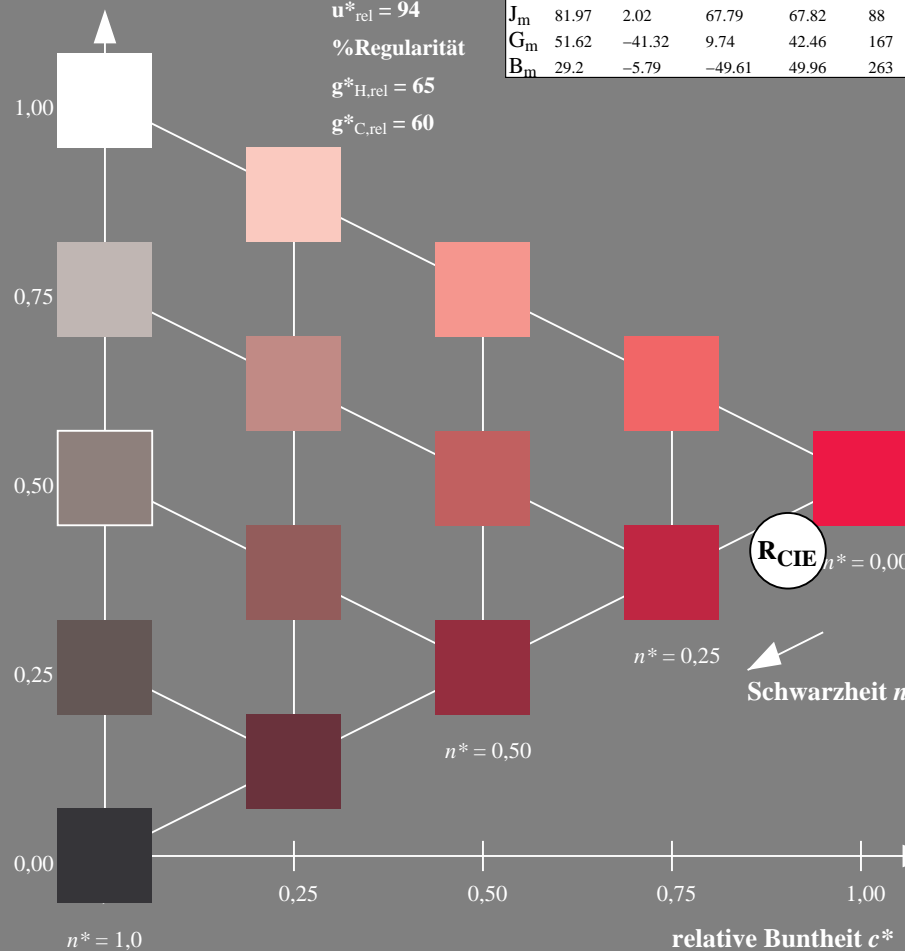
	$L^*=L^*_a$	a^*_a	b^*_a	$C^*_{ab,a}$	$h^*_{ab,a}$
O _m	47.94	65.05	50.54	82.38	38
Y _m	91.0	-4.72	90.58	90.7	93
L _m	50.9	-63.18	34.98	72.22	151
C _m	56.99	-39.34	-48.1	62.16	231
V _m	25.72	30.89	-44.4	54.09	305
M _m	49.99	75.76	-4.64	75.9	356
N _m	18.09	0.0	0.0	0.0	0
W _m	95.46	0.0	0.0	0.0	0
R _m	41.88	61.66	30.69	68.88	26
J _m	81.97	2.02	67.79	67.82	88
G _m	51.62	-41.32	9.74	42.46	167
B _m	29.2	-5.79	-49.61	49.96	263

Dreiecks-Helligkeit t^*

%Umfang

 $u^*_{rel} = 94$

%Regularität

 $g^*_{H,rel} = 65$ $g^*_{C,rel} = 60$ 

QG200-7, 5 stufige Reihen für konstanten CIELAB Buntton 26/360 = 0.074 (links)

BAM-Prüfvorlage QG20; Farbmatrik-Systeme ORS18 & ORS18input: *cmY0* setcmykcolor*D50: Koordinatensysteme; 5stufige Farbreihen für 10 Bunttöne output: *Startup (S) data dependend*

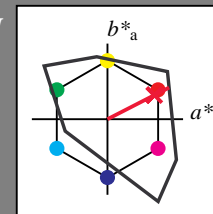
Ausgabe: Farbmatisches Fernseh-Licht-System TLS00

für Buntton $h^* = lab \cdot h = 27/360 = 0.075$ $LAB \cdot LCH$, $LAB \cdot NCH$

D65: Buntton R

LCH*Ma: 55 92 27

olv*Ma: 1.0 0.0 0.18



TLS00; adaptierte CIELAB-Daten

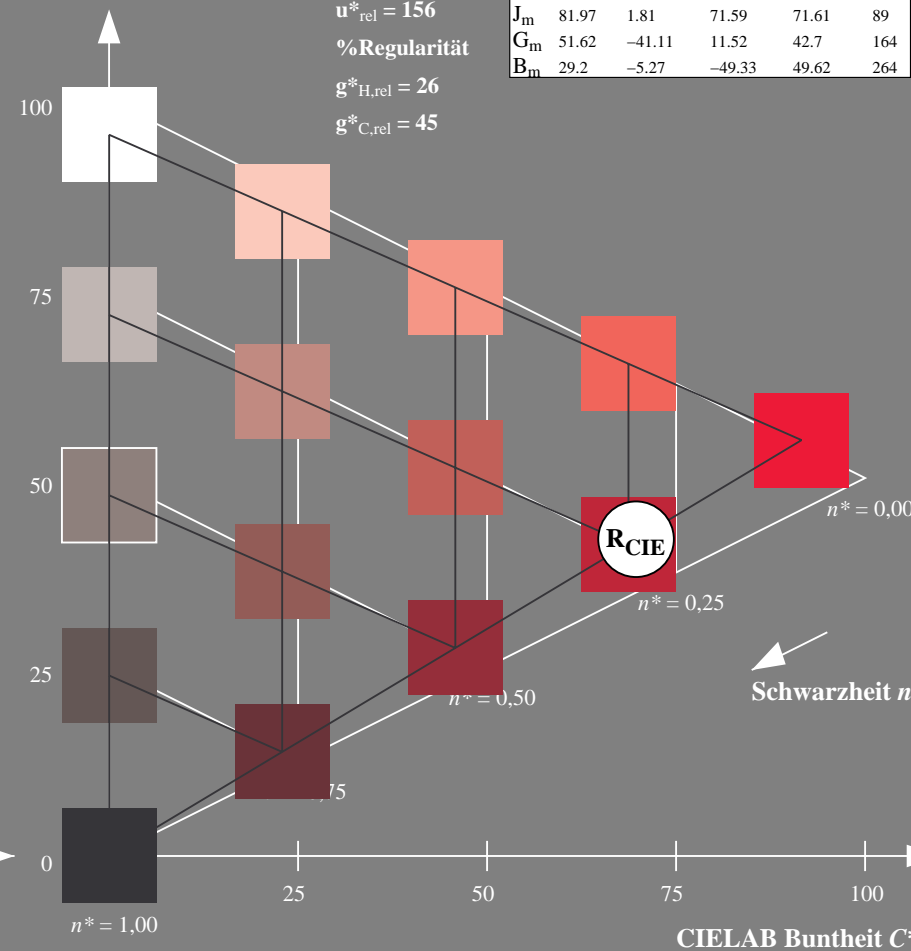
	$L^*=L^*_a$	a^*_a	b^*_a	$C^*_{ab,a}$	$h^*_{ab,a}$
O _m	54.19	79.36	63.0	101.33	38
Y _m	93.44	-14.18	82.59	83.8	100
L _m	82.82	-83.73	70.41	109.41	140
C _m	85.22	-55.9	-15.78	58.1	196
V _m	25.61	67.05	-108.87	127.87	302
M _m	58.76	91.18	-53.69	105.82	330
N _m	0.01	0.0	0.0	0.0	0
W _m	95.41	0.0	0.0	0.0	0
R _m	41.88	62.0	31.82	69.69	27
J _m	81.97	1.81	71.59	71.61	89
G _m	51.62	-41.11	11.52	42.7	164
B _m	29.2	-5.27	-49.33	49.62	264

CIELAB-Helligkeit L^*

%Umfang

 $u^*_{rel} = 156$

%Regularität

 $g^*_{H,rel} = 26$ $g^*_{C,rel} = 45$ 

5 stufige Reihen für konstanten CIELAB Buntton 27/360 = 0.075 (rechts)

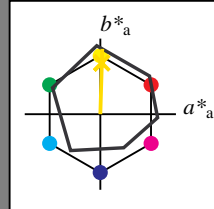
Eingabe: Farbmatisches Offset-Reflektiv-System ORS18

für Buntton $h^* = lab \cdot h = 88/360 = 0.245$ $lab \cdot tch$ und $lab \cdot nch$

D65: Buntton J

LCH*Ma: 86 86 88

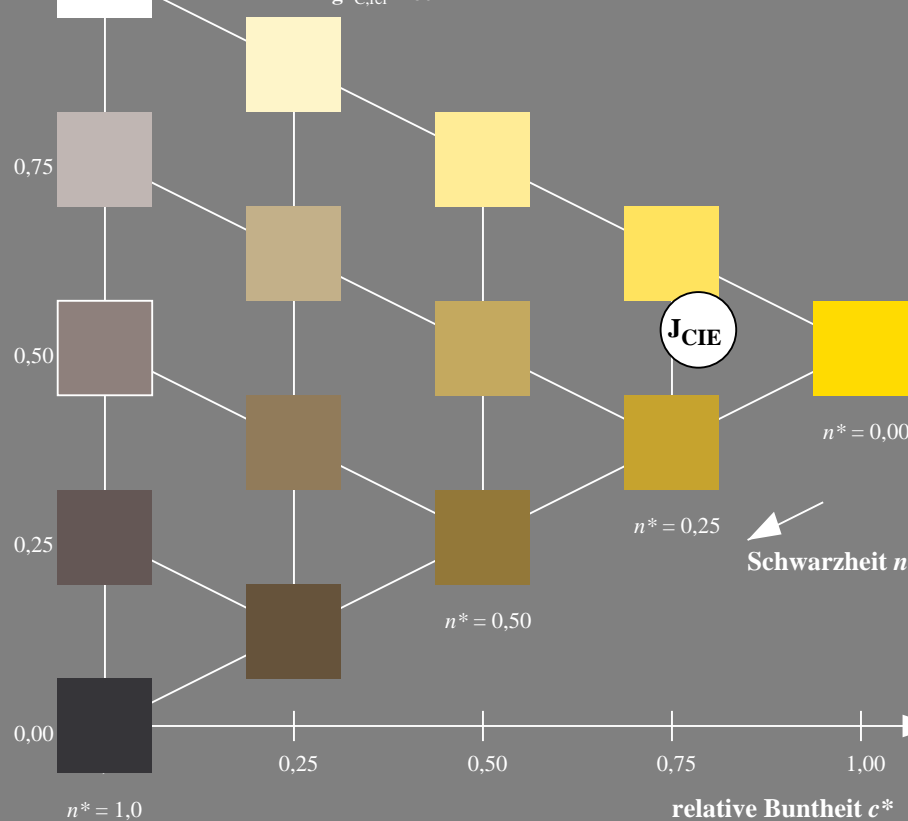
olv*Ma: 1.0 0.9 0.0

Dreiecks-Helligkeit t^*

%Umfang

 $u^*_{rel} = 94$

%Regularität

 $g^*_{H,rel} = 65$ $g^*_{C,rel} = 60$ QG200-7, 5 stufige Reihen für konstanten CIELAB Buntton $88/360 = 0.245$ (links)

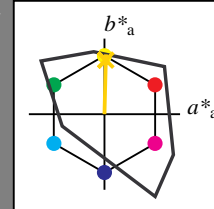
Ausgabe: Farbmatisches Fernseh-Licht-System TLS00

für Buntton $h^* = lab \cdot h = 89/360 = 0.246$ $LAB \cdot LCH, LAB \cdot NCH$

D65: Buntton J

LCH*Ma: 87 79 89

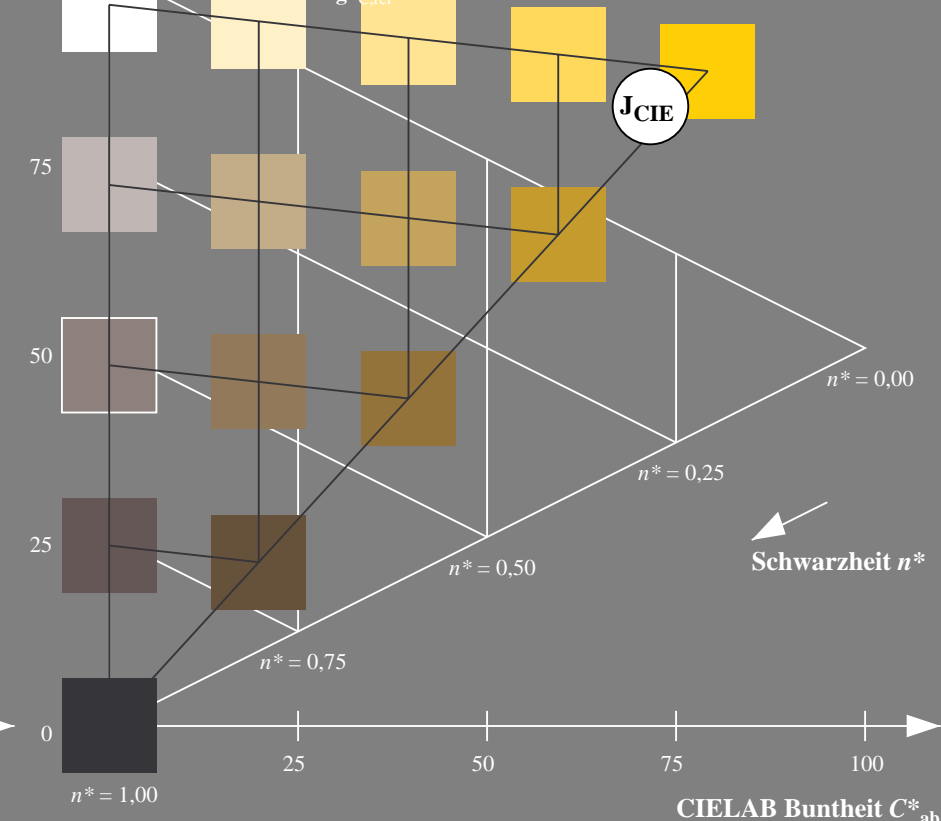
olv*Ma: 1.0 0.83 0.0

CIELAB-Helligkeit L^*

%Umfang

 $u^*_{rel} = 156$

%Regularität

 $g^*_{H,rel} = 26$ $g^*_{C,rel} = 45$ 5 stufige Reihen für konstanten CIELAB Buntton $89/360 = 0.246$ (rechts)BAM-Prüfvorlage QG20; Farbmatrik-Systeme ORS18 & ORS18input: *cmY0* setcmykcolor*D50: Koordinatensysteme; 5stufige Farbreihen für 10 Bunttöne output: *Startup (S) data dependend*

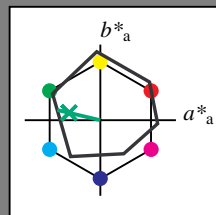
Eingabe: Farbmatisches Offset-Reflektiv-System ORS18

für Buntton $h^* = lab^*h = 167/360 = 0.463$ lab^*tch und lab^*nch

D65: Buntton G

LCH*Ma: 52 59 167

olv*Ma: 0.0 1.0 0.26



ORS18; adaptierte CIELAB-Daten

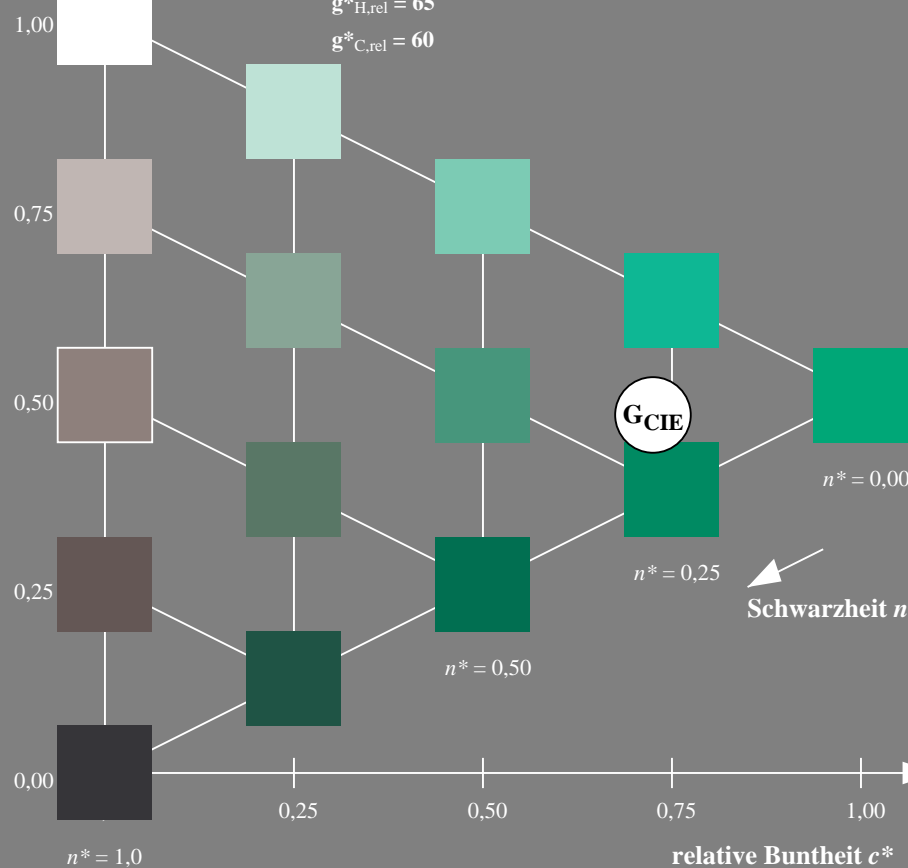
	$L^*=L^*_a$	a^*_a	b^*_a	$C^*_{ab,a}$	$h^*_{ab,a}$
O _m	47.94	65.05	50.54	82.38	38
Y _m	91.0	-4.72	90.58	90.7	93
L _m	50.9	-63.18	34.98	72.22	151
C _m	56.99	-39.34	-48.1	62.16	231
V _m	25.72	30.89	-44.4	54.09	305
M _m	49.99	75.76	-4.64	75.9	356
N _m	18.09	0.0	0.0	0.0	0
W _m	95.46	0.0	0.0	0.0	0
R _m	41.88	61.66	30.69	68.88	26
J _m	81.97	2.02	67.79	67.82	88
G _m	51.62	-41.32	9.74	42.46	167
B _m	29.2	-5.79	-49.61	49.96	263

Dreiecks-Helligkeit t^*

%Umfang

 $u^*_{rel} = 94$

%Regularität

 $g^*_{H,rel} = 65$ $g^*_{C,rel} = 60$ QG200-7, 5 stufige Reihen für konstanten CIELAB Buntton $167/360 = 0.463$ (links)BAM-Prüfvorlage QG20; Farbmatrik-Systeme ORS18 & ORS18input: *cmY0* setcmykcolor*D50: Koordinatensysteme; 5stufige Farbreihen für 10 Bunttöne output: *Startup (S) data dependend*

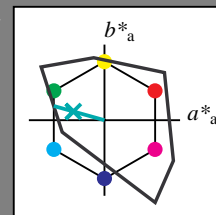
Ausgabe: Farbmatisches Fernseh-Licht-System TLS00

für Buntton $h^* = lab^*h = 164/360 = 0.457$ LAB^*LCH, LAB^*NCH

D65: Buntton G

LCH*Ma: 84 70 164

olv*Ma: 0.0 1.0 0.6



TLS00; adaptierte CIELAB-Daten

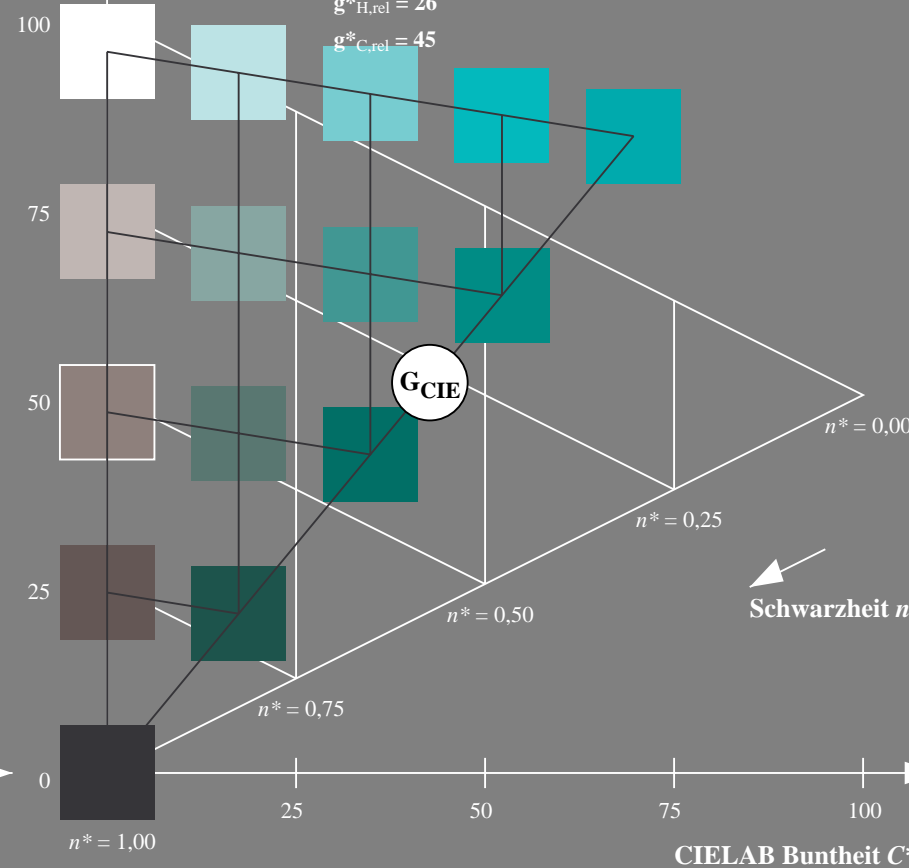
	$L^*=L^*_a$	a^*_a	b^*_a	$C^*_{ab,a}$	$h^*_{ab,a}$
O _m	54.19	79.36	63.0	101.33	38
Y _m	93.44	-14.18	82.59	83.8	100
L _m	82.82	-83.73	70.41	109.41	140
C _m	85.22	-55.9	-15.78	58.1	196
V _m	25.61	67.05	-108.87	127.87	302
M _m	58.76	91.18	-53.69	105.82	330
N _m	0.01	0.0	0.0	0.0	0
W _m	95.41	0.0	0.0	0.0	0
R _m	41.88	62.0	31.82	69.69	27
J _m	81.97	1.81	71.59	71.61	89
G _m	51.62	-41.11	11.52	42.7	164
B _m	29.2	-5.27	-49.33	49.62	264

CIELAB-Helligkeit L^*

%Umfang

 $u^*_{rel} = 156$

%Regularität

 $g^*_{H,rel} = 26$ $g^*_{C,rel} = 45$ 5 stufige Reihen für konstanten CIELAB Buntton $164/360 = 0.457$ (rechts)

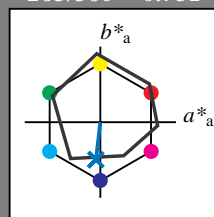
Eingabe: Farbmétrisches Offset-Reflektiv-System ORS18

für Buntton $h^* = lab \cdot h = 263/360 = 0.731$ $lab \cdot tch$ und $lab \cdot nch$

D65: Buntton B

LCH*Ma: 42 47 263

olv*Ma: 0.0 0.52 1.0



ORS18; adaptierte CIELAB-Daten

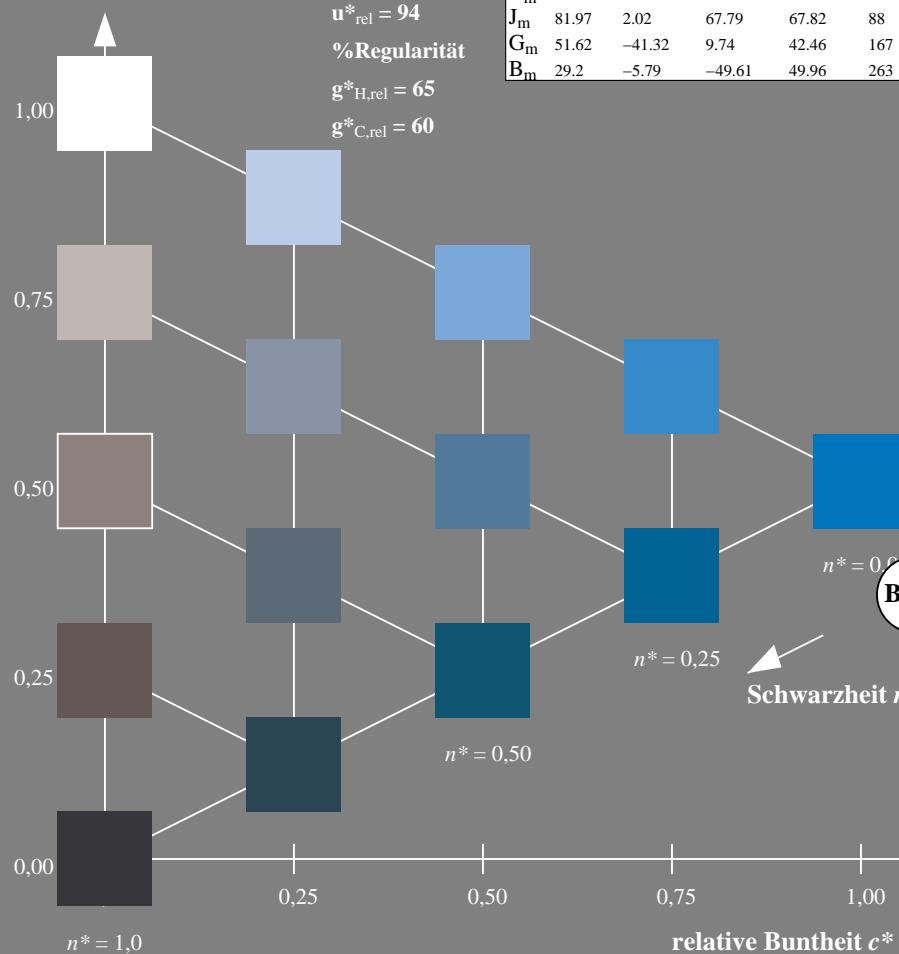
	$L^*=L^*_a$	a^*_a	b^*_a	$C^*_{ab,a}$	$h^*_{ab,a}$
O _m	47.94	65.05	50.54	82.38	38
Y _m	91.0	-4.72	90.58	90.7	93
L _m	50.9	-63.18	34.98	72.22	151
C _m	56.99	-39.34	-48.1	62.16	231
V _m	25.72	30.89	-44.4	54.09	305
M _m	49.99	75.76	-4.64	75.9	356
N _m	18.09	0.0	0.0	0.0	0
W _m	95.46	0.0	0.0	0.0	0
R _m	41.88	61.66	30.69	68.88	26
J _m	81.97	2.02	67.79	67.82	88
G _m	51.62	-41.32	9.74	42.46	167
B _m	29.2	-5.79	-49.61	49.96	263

Dreiecks-Helligkeit t^*

%Umfang

 $u^*_{rel} = 94$

%Regularität

 $g^*_{H,rel} = 65$ $g^*_{C,rel} = 60$ 

QG200-7, 5 stufige Reihen für konstanten CIELAB Buntton 263/360 = 0.731 (links)

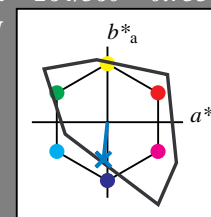
Ausgabe: Farbmétrisches Fernseh-Licht-System TLS00

für Buntton $h^* = lab \cdot h = 264/360 = 0.733$ $LAB \cdot LCH$, $LAB \cdot NCH$

D65: Buntton B

LCH*Ma: 61 54 264

olv*Ma: 0.0 0.59 1.0



TLS00; adaptierte CIELAB-Daten

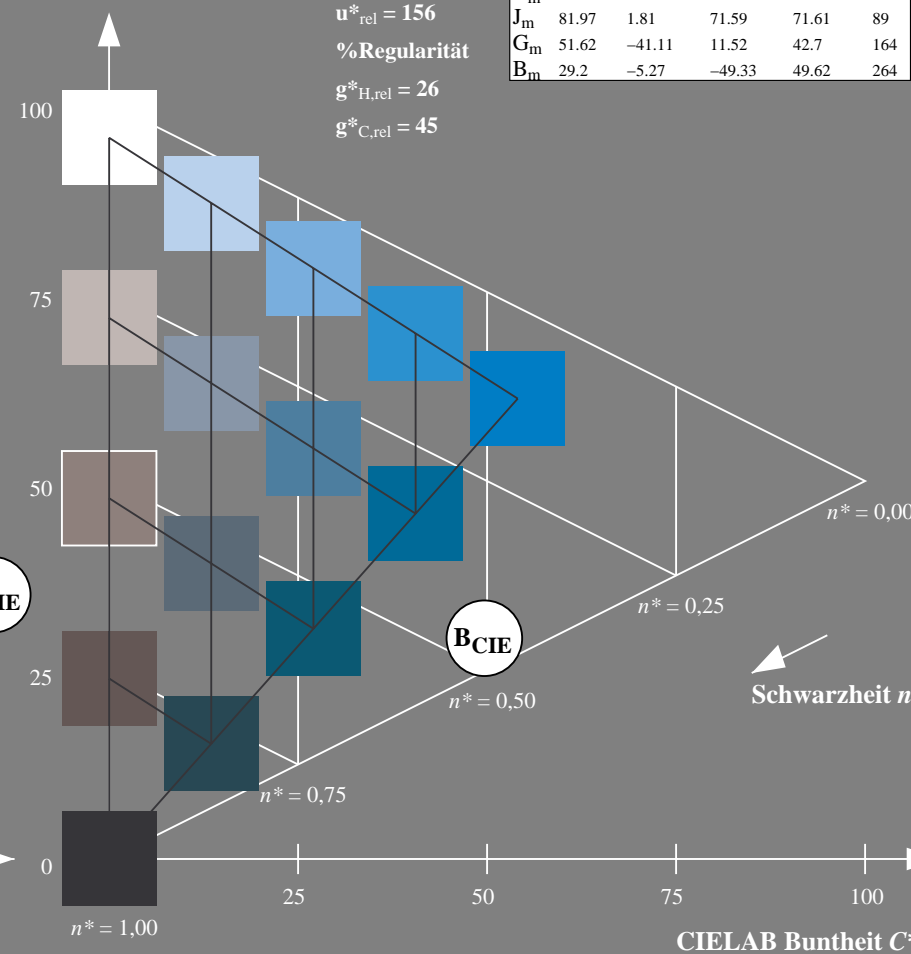
	$L^*=L^*_a$	a^*_a	b^*_a	$C^*_{ab,a}$	$h^*_{ab,a}$
O _m	54.19	79.36	63.0	101.33	38
Y _m	93.44	-14.18	82.59	83.8	100
L _m	82.82	-83.73	70.41	109.41	140
C _m	85.22	-55.9	-15.78	58.1	196
V _m	25.61	67.05	-108.87	127.87	302
M _m	58.76	91.18	-53.69	105.82	330
N _m	0.01	0.0	0.0	0.0	0
W _m	95.41	0.0	0.0	0.0	0
R _m	41.88	62.0	31.82	69.69	27
J _m	81.97	1.81	71.59	71.61	89
G _m	51.62	-41.11	11.52	42.7	164
B _m	29.2	-5.27	-49.33	49.62	264

CIELAB-Helligkeit L^*

%Umfang

 $u^*_{rel} = 156$

%Regularität

 $g^*_{H,rel} = 26$ $g^*_{C,rel} = 45$ 

5 stufige Reihen für konstanten CIELAB Buntton 264/360 = 0.733 (rechts)

BAM-Prüfvorlage QG20; Farbmétrik-Systeme ORS18 & ORS18input: $cmY0^* setcmykcolor$

D50: Koordinatensysteme; 5stufige Farbreihen für 10 Bunttöne output: Startup (S) data dependend